

Vlastnosti betonů modifikovaných minerálními příměsmi



Pavla Rovnaníková
Fakulta stavební VUT v Brně

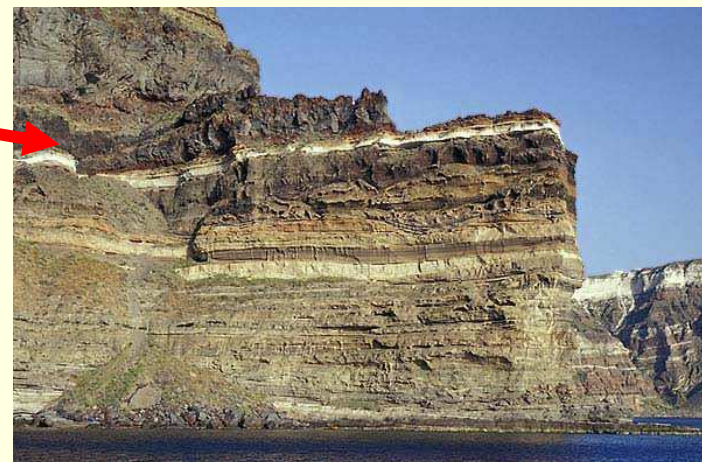
Kalorimetrický seminář, 23. - 27. 5. 2011

Proč využívat příměsi v betonech

- Snížení emisí CO₂
1 t cementu ~ cca 1 t CO₂ - dnes cca 660 kg
- Snížení spotřeby energie
- Zlevnění ceny pojiva v betonu
- Zvýšení korozní odolnosti
- U některých příměsí - zvýšení pevnosti, vodonepropustnosti, porozity, mrazuvzdornosti
- Název: „low-CO₂“ cements, někdy také název „green cements“
- Využití druhotných surovin

Něco z historie

- Féničané v 10. století př. Kr.
– použití pucolánově reagujících příměsí
- Starý Řím – pucolány od Puzzuoli \pm 100 let kolem začátku letopočtu amorfnní SiO_2 , leucit- $\text{K}_2\text{O}\cdot\text{Al}_2\text{O}_3\cdot 4\text{SiO}_2$ a slída
- Řecko – pucolány z ostrova Santorini
65 % SiO_2 , 13 % Al_2O_3 , 6 % Fe_2O_3 , 3 % CaO , 19 % MgO , 7 % KNaO
- Rýnský tras – trachytový tuf



Příměsi – SCM

(Supplementary Cementing Materials)

- Hydraulické příměsi
 - vysokopecní granulovaná struska
 - vysokoteplotní popílký typu C (17 až 35 % CaO)
- Pucolánové příměsi
 - přírodní
 - technogenní

Druhy pucolánů

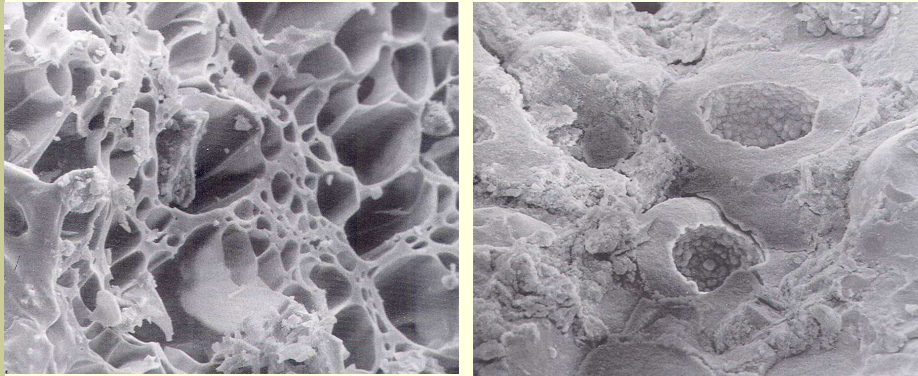
- Přírodní
 - tufy
 - pemza
 - diatomitová zemina
 - spongility
 - perlit
- Technogenní – cíleně připravené nebo odpady
 - pálené jíly
 - cihelný prach a drť
 - metakaolin
 - popely z přírodních organických materiálů
 - popel ze slámy z cukrové třtiny
 - popel z pšeničné slámy
 - popel z dřevěných pilin
 - elektrárenské popílký

Pucolánová reakce

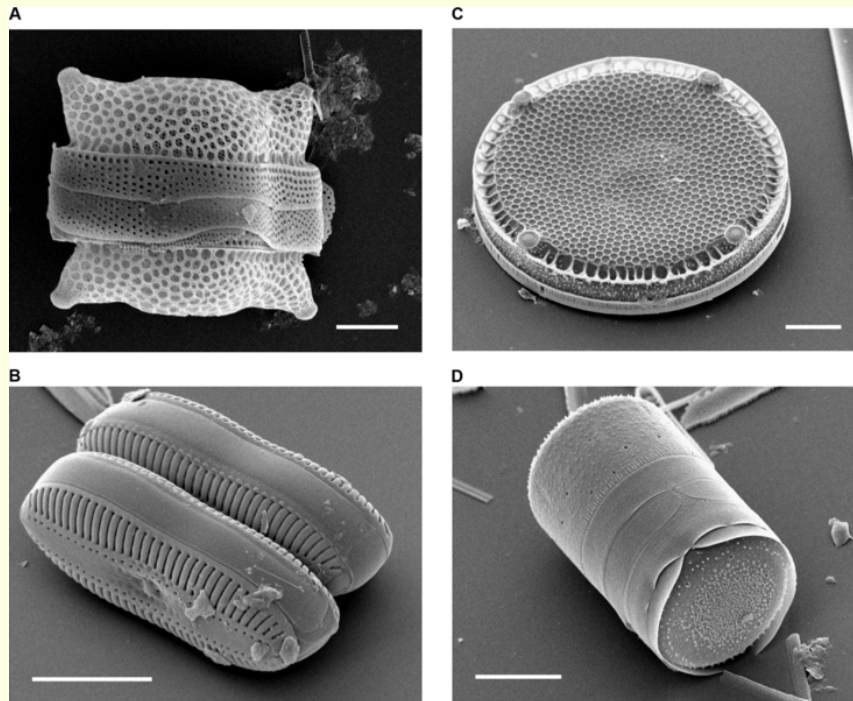
- Při reakci pucolánu s hydroxidem vápenatým
⇒ obdobné produkty jako hydratační produkty p-
cementu CSH a hexagonální hlinitany C_4AH_{13}
- Poměr C/S v CSH je různý, závisí na typu pucolánu,
době a teplotě ošetřování, poměru vápno/pucolán
- Obecné schéma reakce
$$\equiv Si-O-Si \equiv + 8 OH^- \rightarrow 2[SiO(OH)_3]^- + H_2O$$
$$\equiv Si-O-Al \equiv + 7 OH^- \rightarrow [SiO(OH)_3]^- + [Al(OH)_4]^-$$

další reakční produkty vznikají v průběhu delší doby:
 C_2ASH_8 , $C_3A \cdot CaCO_3 \cdot H_{12}$, $C_3AS_3-C_3AH_6$, $C_3AS_2H_2$

Mikrostruktura pucolánů



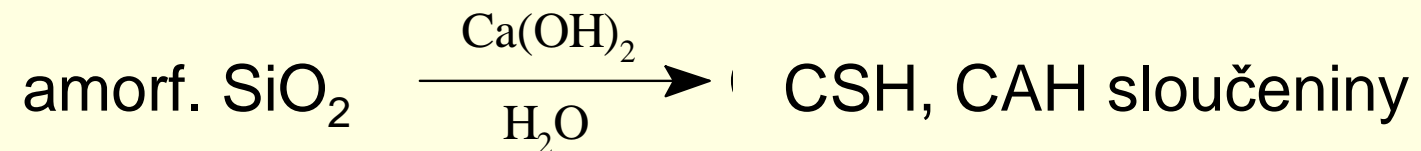
- Vyvřeliny - Itálie



- Sedimenty – diatomitová zemina – schánky rozsivek – amorfni SiO_2
- obsahuje amorfni SiO_2 v rozmezí 25 až 100%, zbytek tvoří křemen, jílové minerály a živce

Pucolánová aktivita

- Schopnost reakce amorfního SiO_2 , silikátu nebo aluminosilikátu s Ca(OH)_2 za běžných podmínek
- Schéma procesu

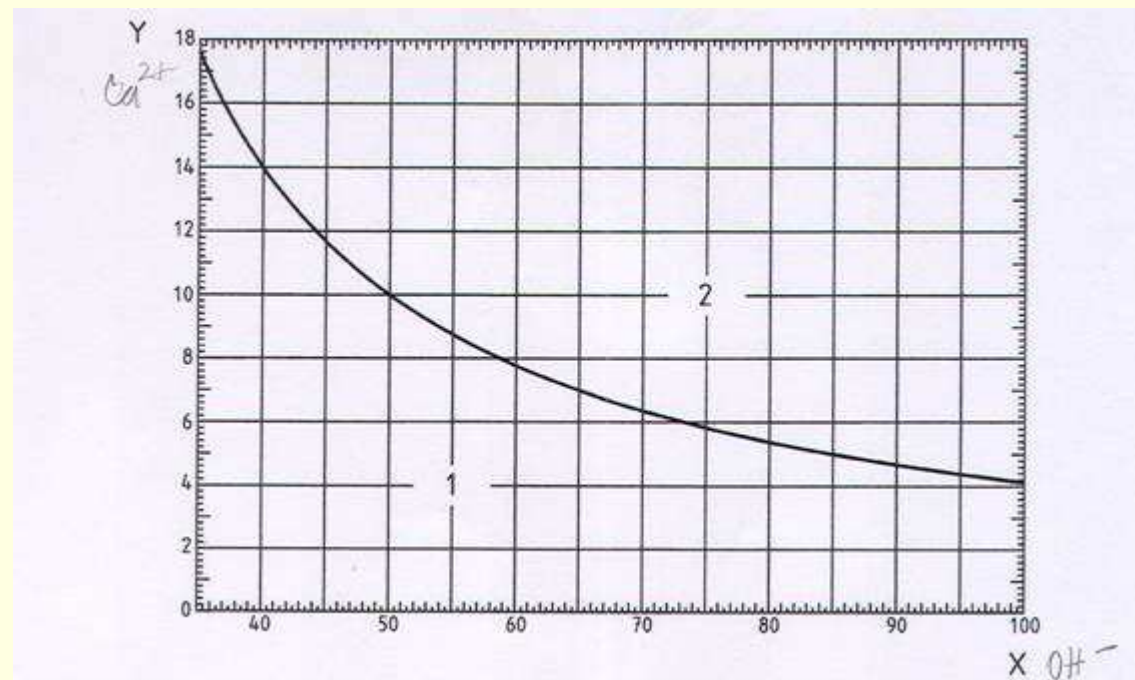


Stanovení pucolánové aktivity

- Reakce s Ca(OH)_2 v autoklávku při 93 °C po dobu 24 h a stanovení obsahu nezreagovaného hydroxidu sacharátovou metodou
- Zkouškami pevnosti – porovnání pevností v tlaku těles s cementem a pevnosti těles s částečnou náhradou cementu pucolánem

ČSN EN 196-5

- Porovnání koncentrace Ca^{2+} -iontů ve vodném roztoku, který je ve styku s hydratovaným cementem, s množstvím iontů vápníku v nasyceném roztoku stejné alkality

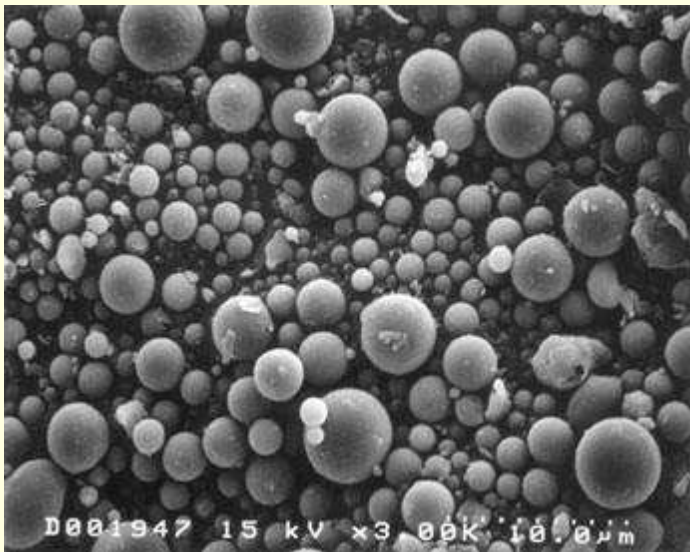


Popílky z vysokoteplotního spalování

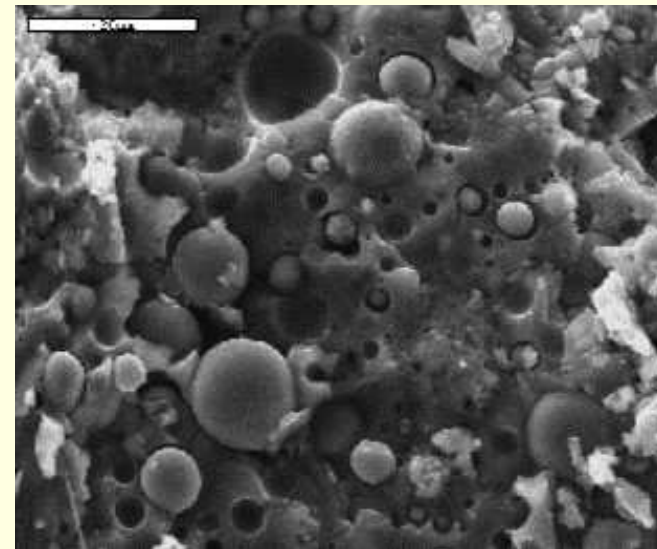
- částice popílku jsou typicky kulovité částice skelného charakteru – $\varnothing \sim 1\text{--}150 \mu\text{m}$, spec. povrch ~ 200 až $800 \text{ m}^2 \cdot \text{kg}^{-1}$
- mohou mít různý tvar, barvu, vzhled, velikost
- složení: SiO_2 ($\sim 45 \%$), $\text{Al}_2\text{O}_3 + \text{Fe}_2\text{O}_3$ ($\sim 35 \%$), CaO (~ 2 až 20%)

Popílek

- Popílek



- Popílek v cementovém tmelu



Klasifikace popílků

■ ČSN EN 197-1

- popílek křemičito-hlinitý – aktivní SiO_2 a Al_2O_3
(obsah $>25\%$), $\text{CaO} < 5\%$

- popílek křemičito-vápenatý – $\text{CaO} > 5\%$;

při obsahu aktivního CaO 5 až 15 % musí být obsah
aktivního $\text{SiO}_2 >25\%$;

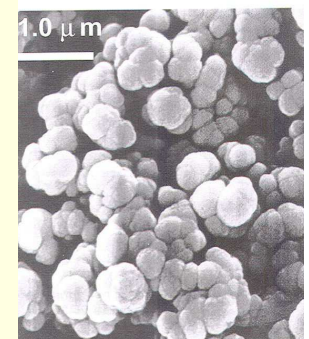
■ ASTM C618

- typ F – $\text{CaO} < 10\%$, $\text{SiO}_2 + \text{Al}_2\text{O}_3 + \text{Fe}_2\text{O}_3$
~ 70 %

- typ C – $\text{CaO} < 20\%$, $\text{SiO}_2 + \text{Al}_2\text{O}_3 + \text{Fe}_2\text{O}_3$
~ 50 %

Křemičité úlety - mikrosilika

- amorfní SiO_2
- odpad při výrobě FeSi a Si
- obsahuje 85–97 % amorfního velmi reaktivního SiO_2
- velikost částic 0,2 až 2 μm – tvoří aglomeráty o \varnothing 50 μm
- spec. povrch $\sim 20\,000\text{ m}^2\cdot\text{kg}^{-1}$
- pucolánově aktivní \Rightarrow s $\text{Ca}(\text{OH})_2$ tvoří CSH gely – ucpávají jemné póry \Rightarrow vodonepropustné betony
- $>5\%$ z hmotnosti cementu způsobuje smrštění betonu

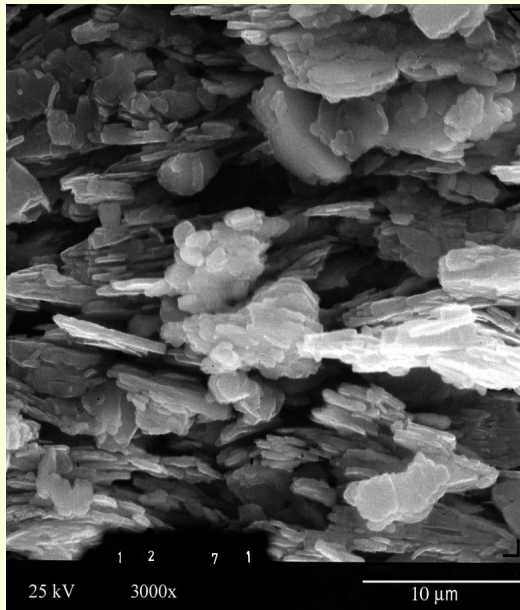


Metakaolin

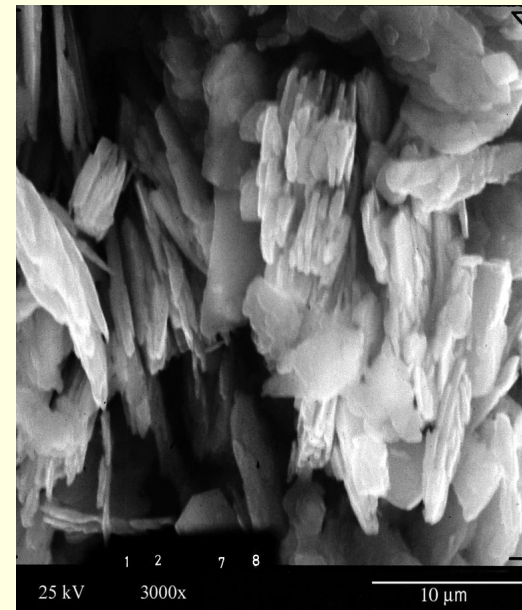
- kaolinit je podstatnou součástí kaolínu
 $\text{Al}_2\text{O}_3 \cdot 2\text{SiO}_2 \cdot 2\text{H}_2\text{O}$ (AS_2H_2)
- rozkládá se při 540°C \Rightarrow metakaolinit
- $\text{Al}_2\text{O}_3 \cdot 2\text{SiO}_2 \cdot 2\text{H}_2\text{O} \rightarrow \text{Al}_2\text{O}_3 \cdot 2\text{SiO}_2 + 2\text{H}_2\text{O}$
- rentgenoamorfni fáze
 - pórovitá struktura
 - reaguje s $\text{Ca}(\text{OH})_2$

Mikrostruktura

Kaolinit



Metakaolinit

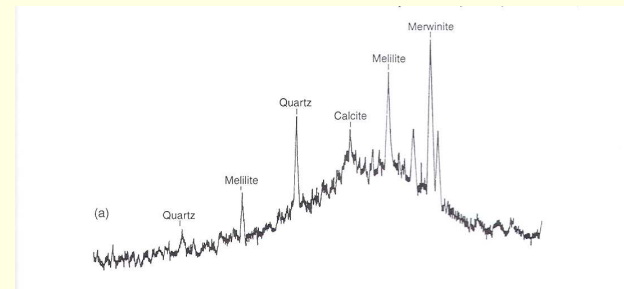


Struska vysokopecní

- Gehlenit – C_2AS , akermanit – C_2MS_2 , merwinit – C_3MS_2 , belit – $\beta-C_2S$, wollastonit - $\beta-CS$, rankinit – C_3S_2 , monticelit – CMS aj.
- Granulace je nezbytná pro získání latentně hydraulických vlastností strusky - rentgenoamorfní stav

- Modul zásaditosti

$$M_s = \frac{CaO + MgO}{SiO_2 + Al_2O_3} > 1$$



- Působením vody na částice strusky vznikne nepatrné množství gelových složek (CSH)
- V roztoku $Ca(OH)_2$ nebo sádrovce, reaktivita vzrůstá
- Tento jev se označuje latentní (skrytou) hydraulitou

Mikromletý vápenec

- Reaguje s aluminátovou fází
 - monocarboalumináthydrát –
 $\text{Ca}_4\text{Al}_2\text{O}_6\text{CO}_3 \cdot 11\text{H}_2\text{O}$
 - karbosilikáthydrát –
scawtite - $\text{Ca}_7(\text{Si}_6\text{O}_{18})(\text{CO}_3) \cdot 2\text{H}_2\text{O}$
- Má také funkci krystalizačních center

Druhy cementů dle ČSN EN 197-1

- **Jednosložkový** – portlandský slínek + sádrovec
 - portlandský cement – CEM I 42,5; 42,5 R; 52,5; 52,5 R; 57,5, 57,5 R
- **Směsné cementy** – portlandský slínek + sádrovec + příměs
 - portlandský struskový CEM II/A-S, resp. B-S
 - portlandský s křemičitým úletem CEM II/A-D
 - portlandský pucolánový CEM II/A-P, B-P, A-Q, B-Q
 - portlandský popílkový CEM II A-V, B-V, A-W, B-W
 - portlandský s kalcinovanou břidlicí CEM II/A-T, B-T
 - portlandský s vápencem CEM II/A-L, B-L
 - portlandský směsný CEM II/A-M, B-M
 - vysokopeční cement – CEM IIIA, B, C
 - pucolánový cement CEM IV/A, B
 - směsný cement CEM V/A, B

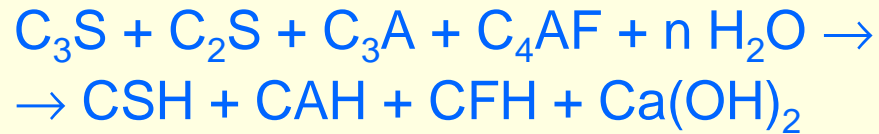
Portlandský cement

21. 10. 1824 – patent na výrobu p-cementu J. Aspdin

- Složení cementu
 - $3\text{CaO}\cdot\text{SiO}_2$ (C_3S) – alit – nositel počátečních i konečných pevností (45 – 80 %)
 - $\beta\text{-}2\text{CaO}\cdot\text{SiO}_2$ ($\beta\text{-}\text{C}_2\text{S}$) – belit nositel konečných pevností (5 – 32 %)
 - $3\text{CaO}\cdot\text{Al}_2\text{O}_3$ (C_3A) – extrémně rychle reaguje s vodou, vysoké hydratační teplo, příčina korozního napadení (4 – 16 %)
 - $4\text{CaO}\cdot\text{Al}_2\text{O}_3\cdot\text{Fe}_2\text{O}_3$ (C_4AF) – brownmillerit (3 – 12 %)
 - Volný CaO (0,1 – 2 %)
 - Volný MgO (0,5 – 4,5 %)

Hydratace cementu

Hydratační schéma

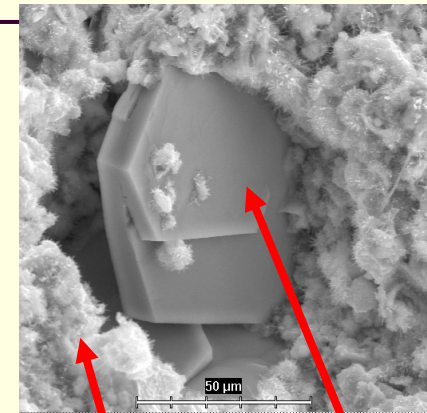


Hydratační reakce:

- $2 (3\text{CaO} \cdot \text{SiO}_2) + 6 \text{H}_2\text{O} \rightarrow 3\text{CaO} \cdot 2\text{SiO}_2 \cdot 3\text{H}_2\text{O} + 3 \text{Ca(OH)}_2$
- $2 (2\text{CaO} \cdot \text{SiO}_2) + 4 \text{H}_2\text{O} \rightarrow 3\text{CaO} \cdot 2\text{SiO}_2 \cdot 3\text{H}_2\text{O} + \text{Ca(OH)}_2$
- $3\text{CaO} \cdot \text{Al}_2\text{O}_3 + 6 \text{H}_2\text{O} \rightarrow 3\text{CaO} \cdot \text{Al}_2\text{O}_3 \cdot 6\text{H}_2\text{O}$
- $3\text{CaO} \cdot \text{Al}_2\text{O}_3 + \text{Ca(OH)}_2 + 12 \text{H}_2\text{O} \rightarrow 4\text{CaO} \cdot \text{Al}_2\text{O}_3 \cdot 13\text{H}_2\text{O}$
- $4\text{CaO} \cdot \text{Al}_2\text{O}_3 \cdot \text{Fe}_2\text{O}_3 \rightarrow \text{C}_4(\text{A},\text{F})\text{H}_x + \text{C}_3\text{AH}_6 \text{ a } \text{C}_3\text{FH}_6$

Nežádoucí reakce:

- $\text{CaO} + \text{H}_2\text{O} \rightarrow \text{Ca(OH)}_2$
- $\text{MgO} + \text{H}_2\text{O} \rightarrow \text{Mg(OH)}_2$

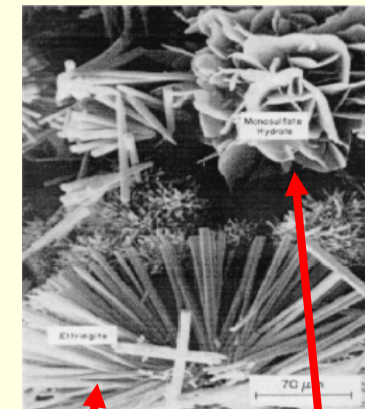
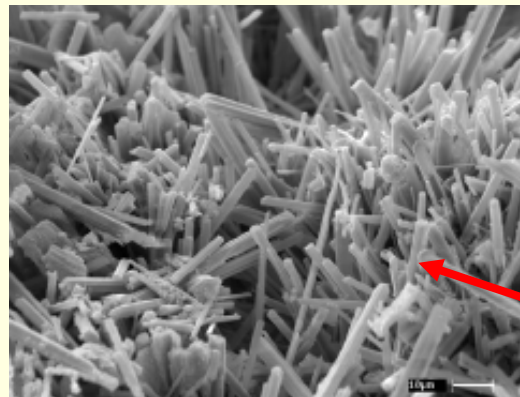


CSH

portlandit

Hydratace cementu

- Hydratace aluminátové fáze v přítomnosti sádrovce
– zpomalovač hydratace
- $3\text{CaO}\cdot\text{Al}_2\text{O}_3 + 3 \text{CaSO}_4\cdot 2\text{H}_2\text{O} + 25 \text{H}_2\text{O} \rightarrow$
 $\rightarrow 3\text{CaO}\cdot\text{Al}_2\text{O}_3\cdot 3\text{CaSO}_4\cdot 31\text{H}_2\text{O} (\text{AF}_t)$
- $3\text{CaO}\cdot\text{Al}_2\text{O}_3\cdot 3\text{CaSO}_4\cdot 32\text{H}_2\text{O} +$
 $+ 2 (3\text{CaO}\cdot\text{Al}_2\text{O}_3) + 4 \text{H}_2\text{O} \rightarrow$
 $\rightarrow 3 (3\text{CaO}\cdot\text{Al}_2\text{O}_3\cdot\text{CaSO}_4\cdot 12\text{H}_2\text{O}) (\text{AF}_m)$

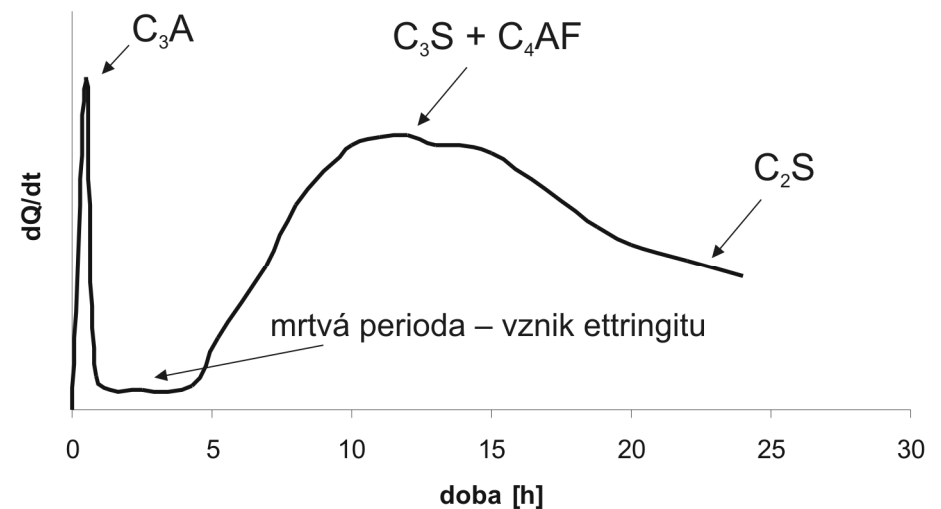


AFt

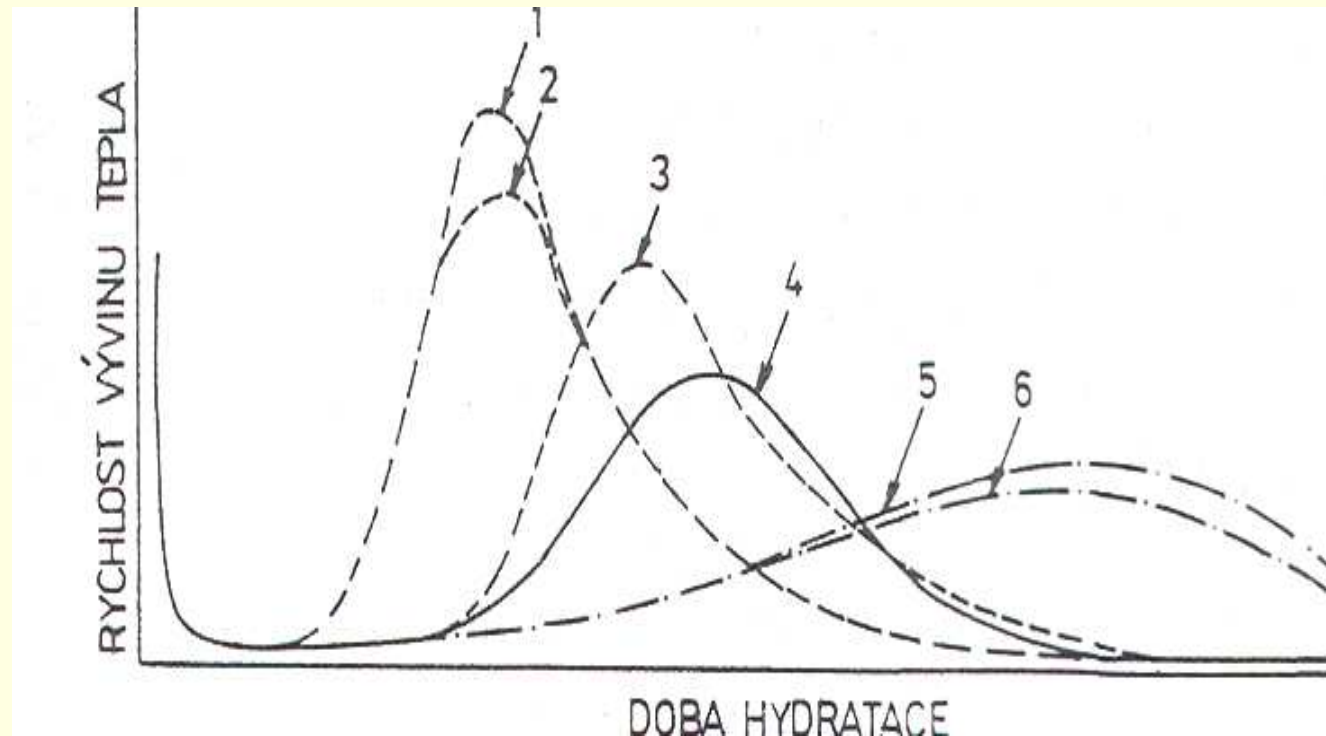
AFm

Hydratační teplo cementu

Slínkový minerál	Hydratační teplo ΔH [$\text{J}\cdot\text{g}^{-1}$]
C_3A	1144
C_3S	517
C_4AF	418
$\beta\text{-C}_2\text{S}$	262
Volné vápno - CaO	1160



Průběh vývinu hydratačního tepla cementu



1- vyšší teplota, 2- CaCl_2 , 3- NaCl , 4 -bez přísad za standardních podmínek, 5 – Na_2SiF_6 , 6 - nízká teplota

Kinetika hydratace

- Teplota

zvýšená teplota \Rightarrow rychlejší průběh hydratace
(prefabrikáty)

snížení teploty pod 5 °C \Rightarrow zastavení hydratace

hydrotermální zpracování (autoklávování) \Rightarrow jiné
produkty hydratace

- Velikost zrn cementu ~ desítky μm

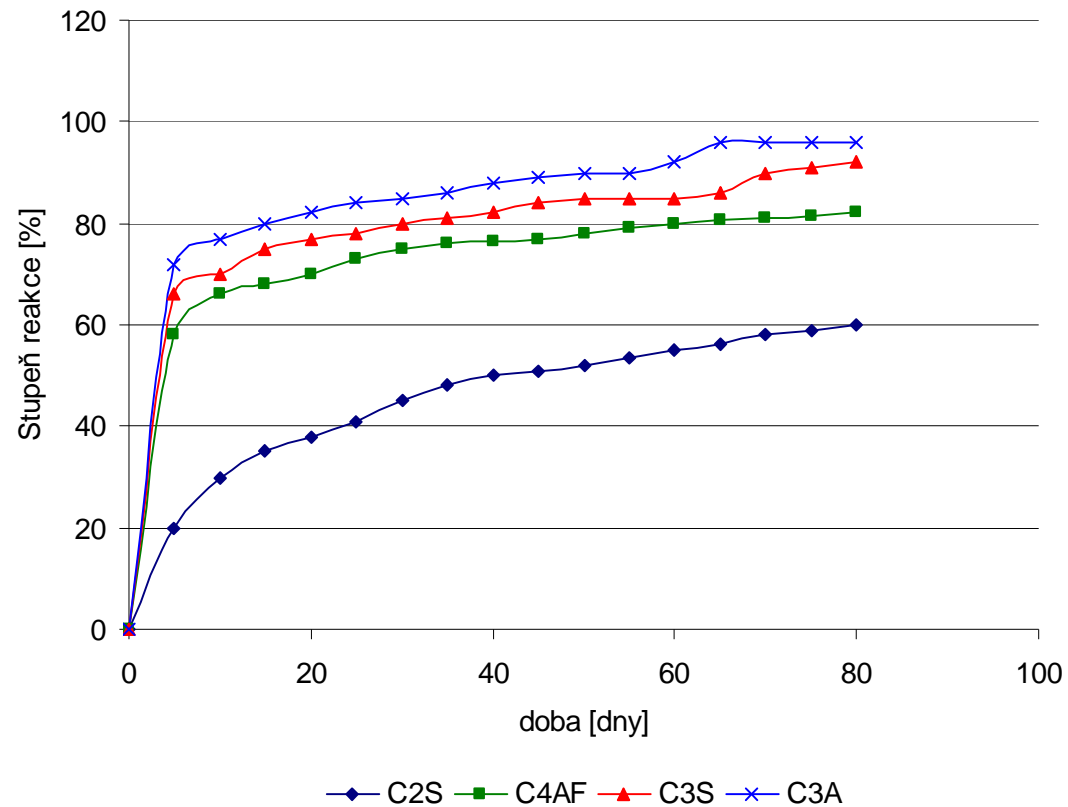
měrný povrch ~ 350 $\text{m}^2 \cdot \text{kg}^{-1}$

- Urychlující přísady – CaCl_2 , $\text{Ca}(\text{NO}_3)_2$, triethanolamin,
močovina aj.

- Zpomalující přísady – většina organických látek

Kinetika hydratace

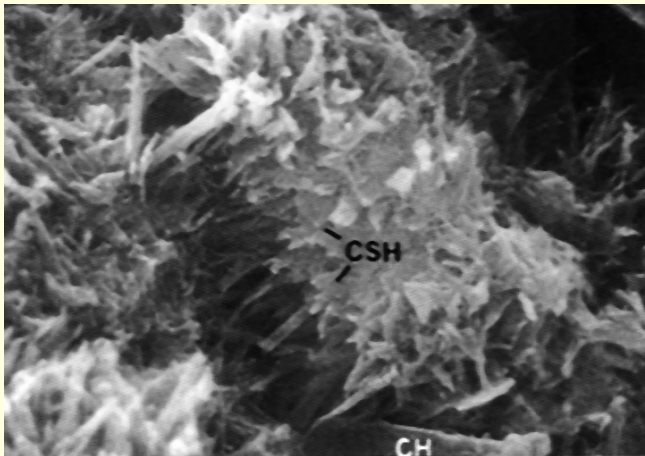
$C_3A > C_3S > \text{alumoforitová fáze} > \beta\text{-}C_2S$



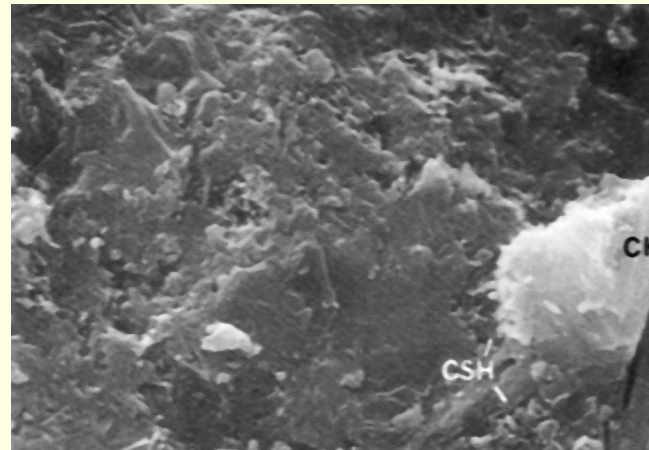
Vodní součinitel

- Poměr vody k cementu w/c
- Vliv na mikrostrukturu

$w/c = 1,0$



$w/c = 0,3$



- w/c ovlivňuje kapilární póry – 0,1 až 10 μm
vliv na vodopropustnost betonu, korozní odolnost
a pevnosti

Efektivní vodní součinitel

- Podle ČSN EN 206-1 Beton se zavádí k -hodnota – faktor korigující množství záměsové vody s ohledem na pevnosti – zavedená pouze pro popílký (0,2 a 0,4 podle druhu cementu) a křemičitý úlet (2,0)
- Současně je omezen obsah příměsi, a to na množství, které bude mít dostatek Ca(OH)_2 k reakci
- $(w/c)_{\text{eff}} = w/(c+k \times p)$
 c a p – množství cementu a příměsi
- Pro strusku není v normě definována k -hodnota – předpoklad, že struska je v pojivých vlastnostech rovna cementu

k-hodnota pro strusku

- Bylo odvozeno, že se *k*-hodnota se skládá z:
k_c- vztažená k latentně hydraulickým vlastnostem strusky

k_p – k množství příměsi

$$\left(\frac{w}{c}\right)_{eff} = \left[\frac{w}{c + k \times s}\right] = \left[\frac{w}{c + k_c \times s + k_p \times s}\right]$$

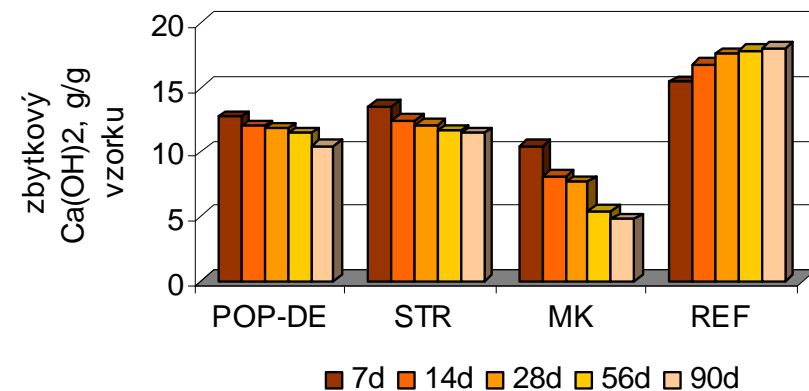
- Celková *k*-hodnota pro strusku je v rozmezí 0,70 až 1,29 pro náhradu cementu struskou 10 až 80 %

Vliv k -hodnoty na korozi betonu

- Se vzrůstající k -hodnotou klesá vodní součinitel \Rightarrow snížení porosity cementového tmelu \Rightarrow snížení rychlosti degradačních procesů v betonu
- Naopak:
nižší k -hodnota \Rightarrow vyšší w/c \Rightarrow vyšší porozita \Rightarrow rychlejší působení agresivních látek z okolí \Rightarrow rychlejší snižování pH \Rightarrow dřívější depasivace ocelové výztuže \Rightarrow možný rychlejší nástup koroze výztuže \Rightarrow zkrácení životnosti konstrukce

Hydroxid vápenatý v betonu

- Vzniká při hydrataci silikátových slínkových minerálů
- Závisí:
 - na mineralogickém složení cementu
 - množství cementu v betonu
 - přítomnosti příměsí
 - reaktivitě příměsí s Ca(OH)_2
 - velikosti částic příměsí
 - množství příměsí

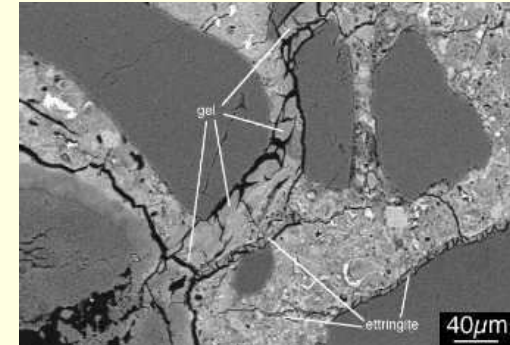
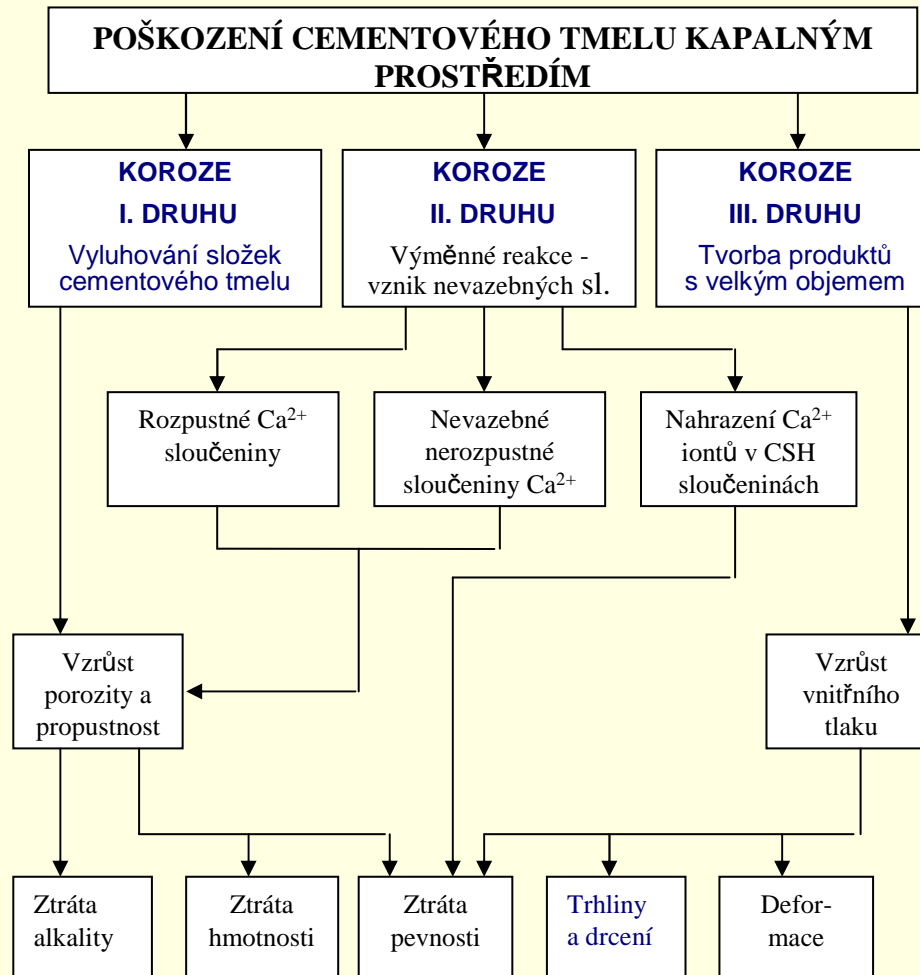


Koroze betonu

- Vodní součinitel a obsah **reaktivní** příměsi ovlivňuje korozní odolnost betonu
- Obsah Ca(OH)_2 v betonu
- Proto je pozornost věnována k -hodnotě ve vztahu k degradaci betonu, přestože to neřeší norma
- Součinitel korozní odolnosti = poměr pevnosti v tlaku nebo tahu ohybem betonu uloženého 60 dnů v korozním prostředí k pevnosti betonu uloženého za standardních podmínek

$$K_{corr} = \frac{R_c}{R_{cREF}}$$

Kapaln  agresivn  prostředí



Koroze III. druhu
Vznik sekund rn ho ettringitu

Beton poškozený chemickými vlivy




Plynné agresivní prostředí

- Karbonatace betonu - působení atmosférického CO₂
$$\text{CO}_2 + \text{Ca(OH)}_2 \rightarrow \text{CaCO}_3 + \text{H}_2\text{O}$$

vaterit, aragonit, kacit, gipsit, aluminátový komplex
- I. Stadium – karbonátuje hydroxid vápenatý, vzniká jemnozrnný CaCO₃ ⇒ vyšší hutnost tmelu, vyšší odolnost proti působení agresivních látek, výhodnější mechanické vlastnosti
- II. Stadium – karbonátují hydratační produkty ⇒ vlastnosti betonu se nemění
- III. Stadium – rekrystalizace jemnozrnného CaCO₃ na hrubozrnný ⇒ krystalizační tlak na stěny pórů ⇒ zhoršují se mechanické vlastnosti betonu
- IV. Stadium – úplná karbonatace, CaCO₃ prostupuje celou strukturou cementového tmelu ⇒ ztráta pevnosti a rozpad betonu

Diagnostika karbonatace na konstrukci

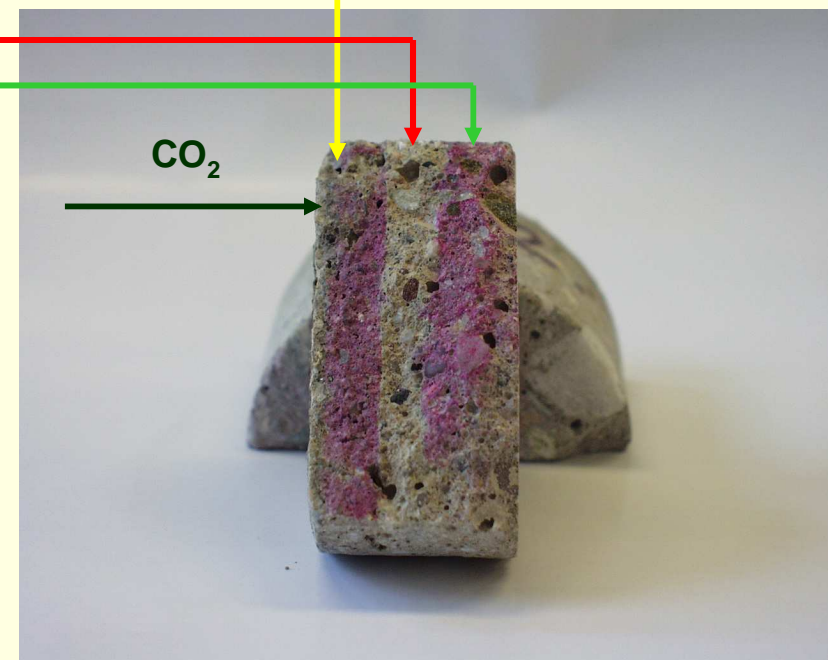
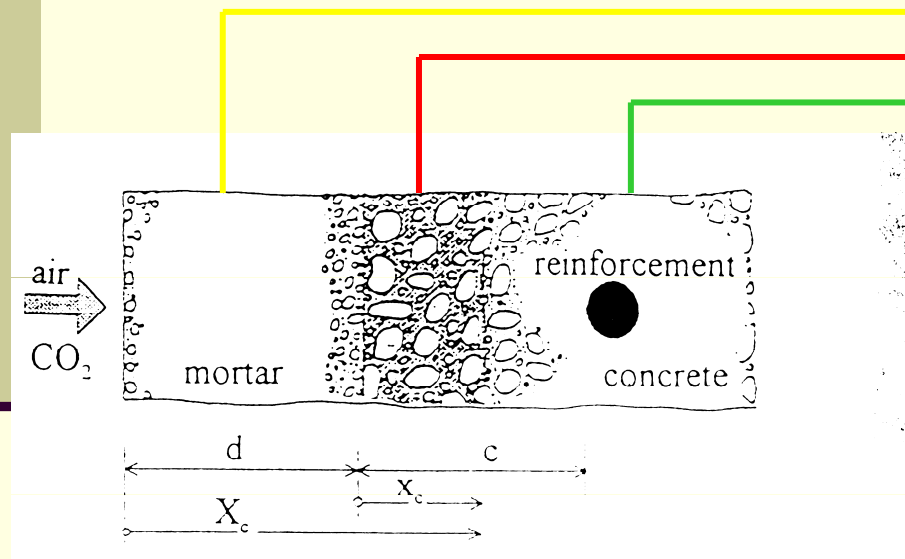


Color: 
pH: $< 8.5-9.5$ $> 8.5-9.5$

Color: 
pH: 5 7 9 11 13

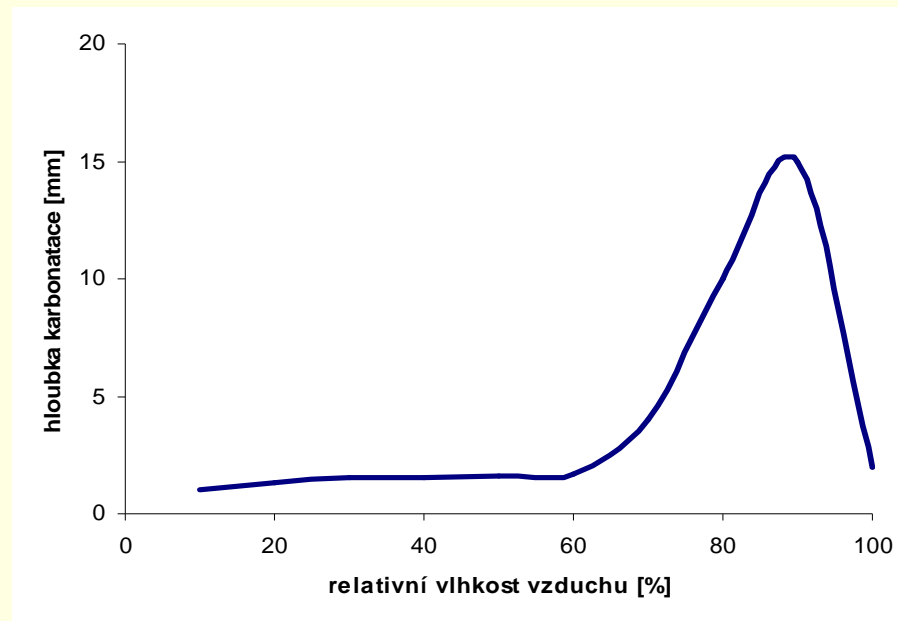
Oprava betonu cementovou maltou

- Cementová malta nanesená na zkarbonátovaný beton



Karbonatace

- Závisí na:
 - obsahu CO_2 v okolním prostředí
 - na relativní vlhkosti vzduchu
 - na teplotě



Modely pro výpočet karbonatace betonu

- Odvozeny z Fickova zákona:
 - Schiessel

$$x_c = \sqrt{\frac{2D_B c_{CO_2}}{m_c c_{CO_2,tot}} t}$$

- Papadakis

$$x_c = 350 \frac{\rho_c}{\rho_w} \frac{\left(\frac{m_w}{m_c} - 0,3\right)}{\left(1 + \frac{\rho_c}{\rho_w} \frac{m_w}{m_c}\right)} \left(1 + \frac{RH}{100}\right) \sqrt{\left(1 + \frac{\rho_c}{\rho_w} \frac{m_w}{m_c} + \frac{\rho_c}{\rho_a} \frac{m_a}{m_c}\right) c_{CO_2} t}$$

Program pro řešení karbonatace betonu

The logo for 'RC Lifetime' is displayed in a stylized, blue, 3D-effect font. The letters 'RC' are larger and more prominent than the word 'Lifetime'. The background of the slide is a grayscale image of a concrete surface with visible signs of carbonation, such as white and brownish patches.

RC Lifetime

Durability of reinforced concrete structures

- a design tool -

1. Service life assesment
2. Concrete cover assesment

Zbyněk Keršner, Pavel Rovnaník, Břetislav Teplý, Pavla Rovnaníková

Děkuji za pozornost

